

## 第八次算法作业

1. 假定  $G = (V, E)$  为一带权重的有向图，并且图中存在一个权重为负值的环路。给出一个有效的算法来列出所有属于该环路上的结点。请证明该算法的正确性。

算法伪码：

```
NEGATIVE-BELLMAN-FORD( $G, w, s$ )
  INITIALIZE-SINGLE-SOURCE( $G, s$ )
  for  $i = 1$  to  $|G, V| - 1$ 
    for each edge  $(u, v)$  in  $G.E$ 
      RELAX( $u, v, w$ )
  for each edge  $(u, v)$  in  $G.E$ 
    if  $v.d > u.d + w(u, v)$ 
       $v.d = -\infty$ 
  for each vertex  $v$  in  $G.V$ 
    if  $v.d = -\infty$ 
      MARK-NEGATIVE( $v$ )

MARK-NEGATIVE( $v$ )
  if  $v.\pi \neq \text{NIL}$  and  $v.\pi.d \neq -\infty$ 
     $v.\pi.d = -\infty$ 
    MARK-NEGATIVE( $v$ )
  else
    return
```

算法正确性：

在使用 Bellman-Ford 算法进行松弛操作，最后对每条边进行检查，如果仍有  $v.d > u.d + w(u, v)$ ，说明图中存在权重为负值的环路，将  $v.d$  标记为负无穷。遍历  $d$  为负无穷的点，以此为起点进行 DFS，找到前驱节点并标记为负无穷，如果这条搜索路径的权重为负值并且下一个点已经访问过，那么这条搜索路径的权重就为负值。

### 2. Yen 对 Bellman-Ford 算法的改进

a. 证明： $G_f$  是无环的，且其拓扑排序为  $\langle v_1, v_2, \dots, v_{|V|} \rangle$ ； $G_b$  是无环的，且其拓扑排序为  $\langle v_{|V|}, v_{|V|-1}, \dots, v_1 \rangle$ ；

证明：

假设  $G_f$  是有环的，那么  $G_f$  至少存在一条边  $(v_i, v_j)$  使得  $i > j$ ，因此这条边  $(v_i, v_j) \notin E_f$ ，所以这条边不在  $G_f$  中，这是一个矛盾，因此  $G_f$  是无环的。

由于  $v$  中的边  $(v_i, v_j)$  满足  $i < j$ ，因此  $G_f$  中的边只要有  $i < j$ ，那么拓扑排序时必然有  $v_i < v_j$ ，所以拓扑排序的序列是  $\langle v_1, v_2, \dots, v_{|V|} \rangle$ 。

图  $G_b$  的证明类似。

b. 证明：在上述操作方式下，如果图  $G$  不包含从源结点  $s$  可以到达的权重为负值的环路，

则在  $\lceil \frac{|V|}{2} \rceil$  遍松弛操作后，对于所有的结点  $v \in V$ ，有  $v.d = \delta(s, v)$

证明：

对于  $V$  中的所有点对，我们只需考虑  $\delta(s, v)$  有限的情况，即  $(s, v)$  存在最短路径。假设这条路径为  $p = \langle s, v_1, v_2, \dots, v_{k-1}, v \rangle$ ，考虑边方向的变化，即  $(v_{i-1}, v_i) \in E_f, (v_i, v_{i+1}) \in E_b$  ( $(v_{i-1}, v_i) \in E_b, (v_i, v_{i+1}) \in E_f$  相似) 的情况。因为  $p$  中最多有  $|V| - 1$  条边，所以这样的变化最多有  $|V| - 2$  次。

由拓扑排序的特点可知，图  $G_f$  与  $G_b$  都可以生成各自的最短生成路径，在进行 Bellman-Ford 算法时需要进行松弛操作的次数与  $|V| - 1$  的关系为：

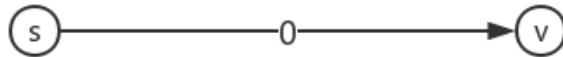
$ V  - 1$	第一条边的方向	松弛操作次数
偶数	前向	$( V  - 1)/2$
偶数	反向	$( V  - 1)/2 + 1$
奇数	前向	$ V /2$
奇数	反向	$ V /2$

综上，在  $\lceil \frac{|V|}{2} \rceil$  遍松弛操作后，对于所有的结点  $v \in V$ ，有  $v.d = \delta(s, v)$

### c. 上述算法是否改善了 Bellman-ford 算法的渐进运行时间？

上述算法没有改善 Bellman-ford 算法的渐进运行时间。尽管松弛操作的次数从  $|V| - 1$  次变为  $\lceil \frac{|V|}{2} \rceil$  次，但算法复杂度仍然为  $O(V)$  次松弛操作，也就是  $O(VE)$  的时间复杂度。

### 3. JOHNSON 算法是否有必要创建新的结点



如上图所示， $h(v) = \delta(v, v) = 0, h(s) = \delta(v, s) = \infty$

因此  $\hat{w}(s, v) = 0 + \infty - 0 = \infty, \hat{\delta}(s, v) = \infty$ ，因此可以计算  $d_{sv} = \infty + 0 - \infty \neq 0$  而  $\delta(s, v) = 0$ ，因此出现矛盾。

在强连接图中，对于任意的边  $(s, v)$ ，都有  $\delta(s, v) < \infty$ ，根据三角不等式，可以推出

$$\hat{w}(s, v) = w(s, v) + h(s) - h(v) \geq 0$$

由于边的权重都是有限的，所以通过权重函数映射后重新赋予的权重并没有改变最短路径。所以强连接图满足 (1) 使用 Johnson 算法没有改变最短路径 (2) 对于任意的边  $(s, v)$ ，都有  $\hat{\delta}(s, v) < \infty$ ，即  $d_{sv} = \hat{\delta}(s, v) + h(v) - h(s)$  是有限的。所以在强连接图中该算法是正确的。

### 4. 动态图的传递闭包

a. 说明在加入一条新边到图  $G$  时，如何在  $O(V^2)$  时间内更新图  $G = (V, E)$  的传递闭包  $G' = (V, E')$ 。

用  $|V| \times |V|$  的矩阵  $T$  表示传递闭包，如果点  $i$  到  $j$  有一条路径，则  $t_{ij} = 1$ 。初始化矩阵时，若  $i = j$ ，则  $t_{ij} = 1$ ，否则初始化为 0。

因此在边  $(u, v)$  加入时，更新图的算法为：

```
UPDATE-TRANSITIVE-CLOSURE(T, u, v):
```

```
  for i = 1 to |V|
    for j = 1 to |V|
      if t[i,u] == 1 and t[v,j]==1
        t[i,j] = 1
```

算法复杂度为 $O(V^2)$

b. 给出一个图  $G$  和一条边  $e$ ，使得在将边  $e$  插入到图  $G$  后，更新传递闭包的时间复杂度为  $\Omega(V^2)$ ，而不管使用的是那种算法。

考虑直线图  $G = (V, E)$ ，点集  $V = \{v_1, v_2, \dots, v_n\}$ ，边集  $E$  满足在点  $(v_i, v_{i+1})$  间存在一条边，在边  $e$  插入之前，传递闭包矩阵上对角线和对角线以上的部分为 1，即有  $|V|(|V| + 1)/2$  的数为 1。在插入边  $e$  之后，该图成为一个环，则传递闭包矩阵的所有位置都为 1，那么至少需要更新  $|V|^2 - \frac{|V|(|V|+1)}{2} = \Theta(V^2)$  个位置的数据。因此算法复杂度为  $\Omega(V^2)$ 。

c. 描述一个有效的算法，使得在将边加入到图  $G$  中时更新传递闭包。对于任意  $n$  次插入的序列，算法运行的总时间应该是  $\sum_{i=1}^n t_i = O(V^3)$

更新的算法为：

```
EFFICIENT-UPDATE-TRANSTIVE-CLOSURE(T,u,v)
```

```
  for i = 1 to |V|
    if t[i,u]==1 and t[i,v]==0
      for j=1 to |V|
        if t[v,j]==1
          t[i,j] = 1
```

证明：

在  $n$  次插入后，外层 for 语句的执行次数为  $O(nV) = O(V^3)$ ，因为  $n \leq |V|^2$

只有在  $t[i, v] = 0$  时，内层 for 循环才会执行，因为  $T$  中最多只有  $|V|^2$  个元素，所以内层 for 循环执行的次数最多为  $|V|^2$  次。

所以算法复杂度为  $O(V^3)$